

© 1990

СПЕКТРОСКОПИЯ δ -ЛЕГИРОВАННЫХ СЛОЕВ $GaAs : Si$

Ю.Ю. Б а ч е р и к о в, Е.Ф. В е н г е р,
 Н.Л. Д м и т р у к, Д.В. К о р б у т я к,
 Д.И. Л у б ъ ш е в, В.П. М и г а л ь,
 О.В. С н и т к о, Н.А. Ф и д р я

δ -легирование полупроводников, предложенное для улучшения профиля легирования [1], оказалось весьма перспективным для изучения двумерных электронных систем и практических применений в полевых транзисторах с рекордной подвижностью электронов. В настоящей работе проведены спектроскопические исследования так называемых $\delta_i\delta_i$ -структур, содержащих 5 δ -слоев $GaAs : Si$, разделенных нелегированными слоями $GaAs$ толщиной 20,75 и 600 Å [2]. Структуры получены способом молекулярно-пучковой эпитаксии на подложках из полуизолирующего арсенида галлия [3]. Для изучения $\delta_i\delta_i$ -структур - установления структурного совершенства, выявления фоновых (неконтролируемых) примесей, определения концентрации и подвижности электронов - использованы два спектроскопических метода: 1 - фотолюминесценция (ФЛ), возбуждаемая аргоновым лазером при $T = 4.2$ К и 2 - нарушенное полное внутреннее отражение света (НПВО) в спектральной области возбуждения смешанных поверхностных плазмон-фононных поляритонов (ПП).

Из спектра ФЛ (рис. 1) следует, что основной неконтролируемой примесью является углерод ($h\nu = 1.494 \pm 0.001$ эВ). Кроме того, проявляются также линии Ge , Si ($h\nu = 1.479$ эВ), меди ($h\nu = 1.330$ эВ), а также в области $h\nu = 1.44-1.46$ эВ наблюдаются полосы, обусловленные донорно-акцепторными переходами с участием V_{As} , а при $h\nu = 1.510-1.518$ эВ имеется тонкая структура из 2-4 узких линий, обусловленных излучением экситонов, связанных на акцепторах ($h\nu = 1.510-1.514$ эВ) и на донорах ($h\nu = 1.515-1.518$ эВ). Последнее подтверждается температурной зависимостью интенсивности соответствующих полос. Установлено, что линии ФЛ экситонов, связанных на акцепторах, более интенсивны в случае образцов с более высокой концентрацией Si в δ -слоях, а при $N_{Si} \leq 5 \cdot 10^{12} \text{ см}^{-2}$ такие линии отсутствуют. Это, по-видимому, свидетельствует о том, что при больших концентрациях в δ -слоях атомы Si формируют не только донорные центры, а также и акцепторные, т.е. $SiGa$, либо более сложные комплексы $V_{Ga} - SiGa$. Кроме того, в $\delta_i\delta_i$ -структурах в отличие от нелегированного $GaAs$, полученного тем же спо-

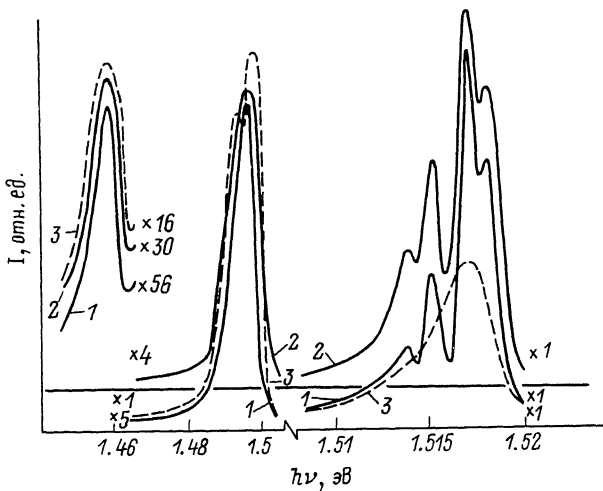


Рис. 1. Спектры ФЛ δ -*GaAs* ($T = 4.2$ К) при концентрации $n_s = 9 \cdot 10^{12}$ см $^{-2}$ (1), $n_s = 5 \cdot 10^{13}$ см $^{-2}$ (2), а также нелегированного *GaAs* (3).

собом молекулярно-пучковой эпитаксии, экситонные линии ФЛ более интенсивны и узки, т.е. δ -слой *Si*, возможно, является геттером примесей и дефектов из матрицы *GaAs*. Например, интенсивность „углеродной“ линии ФЛ уменьшается в δ - δ -структуре даже при межслоевых промежутках в 1200 Å, т.е. длина геттерирования существенно превышает 0.1 мкм.

Спектры НПВО измерялись при $T = 300$ К в р-поляризованном свете с применением геометрии Отто и режима частотного сканирования в спектральной области активного плазмон-фононного взаимодействия в *GaAs* ($\nu = 270$ – 300 см $^{-1}$) [4]. Использование полуцилиндра *CsI* в качестве элемента связи позволило при изменении угла падения света φ от 40° до 60° перекрыть диапазон

приведенных волновых чисел ПП $k_x c = \frac{k_x c}{\omega_r} = \frac{\omega}{\omega_r} \cdot n \cdot \sin \varphi$ ($n = 1.72$ – показатель преломления *CsI*). По угловой зависимости частотного положения минимумов НПВО построена дисперсия ПП $\omega(k_x)$ (рис. 2). Видно, что с увеличением межслоевого промежутка Δ дисперсионные кривые смещаются в коротковолновую сторону, а полуширина минимумов НПВО, имеющих лоренцеву форму, слабо возрастает от 5.0 до 5.6 см $^{-1}$.

Для интерпретации данных НПВО мы попытались применить следующие модели:

1) трехслойная полярная среда, в которой I и Ш слои – чистый *GaAs*, а П – однородной легированный до объемной концентрации

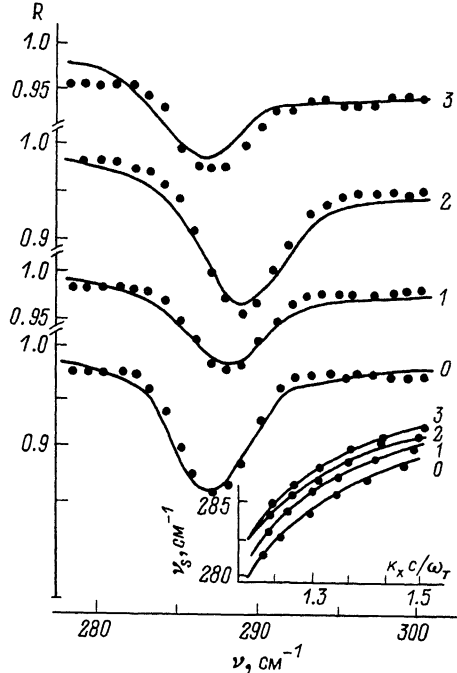


Рис. 2. Спектры НПВО для δ -легированных образцов № 1–3 и нелегированного $GaAs$. (•) – точки – эксперимент, сплошные линии – расчет. На вставке – дисперсия плазмон-фононных ПП (нижняя ветвь).

электронов $n_o = \frac{n_s}{\zeta}$, $\zeta = 5\Delta = 0, 0.01, 0.03, 0.24$ мкм. Плазменная частота 3D-электронного газа $\omega_p = \left(\frac{4\pi n_o e^2}{m^* \epsilon_\infty} \right)^{1/2}$ и затухание плазмонов γ_p , фононов – γ_ϕ , n_s – поверхностная концентрация электронов;

2) двумерная плазма в полубесконечной полярной среде на глубине L от поверхности, т.е. дисперсия смешанных ПП описывается уравнением, следующим из [5]:

$$\left(\frac{\epsilon_1(\omega)}{\alpha} + \frac{1}{\alpha_o} \right) \left(\frac{2\epsilon_1(\omega)}{\alpha} - \frac{\Omega_s c}{\omega^2} \right) - \frac{\Omega_s c}{\alpha} \left(\frac{\epsilon_1(\omega)}{\alpha} - \frac{1}{\alpha_o} \right) e^{-2\alpha L} = 0,$$

где (1)

$$\alpha = \left(k_x^2 - \frac{\epsilon_1(\omega) \omega^2}{c^2} \right)^{1/2}, \quad \alpha_o = \left(k_x^2 - \frac{\omega^2}{c^2} \right)^{1/2},$$

Таблица

№ обр.	Δ , A	ν_p , cm^{-1}	γ_p , cm^{-1}	$n_s, \text{ см}^{-2}$		$\mu_s, \text{ см}^2/\text{В.с}$	
				НПВО	Холл	НПВО	Холл
1	20	1670	70	$1.83 \cdot 10^{13}$	$1.7 \cdot 10^{13}$	$1.33 \cdot 10^3$	$1.50 \cdot 10^3$
2	75	1352	45	$5.49 \cdot 10^{13}$	$3.1 \cdot 10^{13}$	$2.08 \cdot 10^3$	$1.64 \cdot 10^3$
3	600	720	11	$1.25 \cdot 10^{14}$	-	$8.5 \cdot 10^3$	-

$$\Omega_s = \left(\frac{4\pi n_s e^2}{m^* c} \right)^{1/2} - \text{характеристическая частота } 2D-$$

плазмы;

3) полубесконечная сверхрешетка $2D$ - газа в полярной среде, дисперсия ПП которой описывается формулой [6]:

$$\frac{2\varepsilon_1(\omega)}{\omega} (\cos q\Delta - \sin q\Delta) = \frac{c\Omega_s}{\omega^2} \sin q\Delta, \quad (2)$$

где $0 < q < \frac{\pi}{\Delta}$, Ω_s - характеристическая частота для концентрации n_s/N , N - число δ - слоев ($N = 5$ в нашем случае).

Численный расчет дисперсии ПП по трем моделям показал, что наиболее близкие к эксперименту результаты дает первая модель, т.е. представление системы δ - слоев $3D$ - плазменным слоем. Это, по-видимому, естественно, т.к. при $T = 300$ К и туннельно-прозрачных промежутках между δ - слоями заполнено несколько подзон и волновые функции электронов соседних слоев перекрываются. Даже при больших межслоевых промежутках из-за перекрытия потенциалов и с учетом высокой чистоты этих промежутков высота барьеров относительно уровня Ферми понижается и концентрация электронов в промежутках составляет заметную долю от n_0 [3]. В таком случае по формулам Френеля можно рассчитать сами спектры НПВО и осуществить машинную оптимизацию подгонки их под экспериментальные [7] (рис. 2). По полученным в ре-

зультате расчетов плазменной частоте $\nu_p = \frac{\omega_p}{2\pi c}$ и затуханию плазмонов γ_p были рассчитаны поверхностная концентрация электронов n_s и их подвижность μ_n в δ - слоях:

$$n_s = \pi l c^2 \varepsilon_\infty \nu_p^2 \frac{1}{e^2}, \quad (3)$$

$$\mu_n = \frac{e}{2\pi c \gamma_p m^*}, \quad (4)$$

если значение эффективной массы m^* считать известным. Как видно из таблицы, при m^* , равной массе 3D-электронов в однородно слабо легированном GaAs вычисленные по формулам (3), (4) n_s , M_n , оказались хорошо согласующимися со значениями, определенными по Холлу. Подвижность электронов в δ -слоях увеличивается с возрастанием их поверхностной концентрации и межслоевого промежутка вплоть до 600 Å. Последнее, по-видимому, обусловлено тем, что подвижность определяется, в основном, движением электронов в межслоевых промежутках с высокой подвижностью, очищенных дополнительно геттерирующим действием δ -слоев.

С п и с о к л и т е р а т у р ы

- [1] Wood C.E.C. et al. // J. Appl. Phys. 1980. 51. P. 383.
- [2] Бачериков Ю.Ю., Венгер Е.Ф., Дмитрук Н.Л. и др. // Тез. докл. Всесоюзн. конф. "Поверхность-89", Черноголовка, 4-6.07.89 г. С. 179.
- [3] Мигаль В.П., Лубышев Д.И., Преображенский В.В. и др. // Электронная промышленность. 1989. № 6. С. 6-8.
- [4] Поверхностные поляритоны / Под ред. В.М. Аграновича и Д.Л. Милса. М.: Наука, 1985. 519 с.
- [5] Дмитрук Н.Л., Крюченко Ю.В., Литовченко В.Г. // УФЖ. 1984. Т. 29. № 3. С. 357-361.
- [6] Saille A., Vanvillé M., Zuckermann // Sol. St. Comm., 1979. V. 24. N 12. P. 805.
- [7] Венгер Е.Ф., Дмитрук Н.Л., Синтко О.В., Фидря Н.А. // ЖПС. 1989. Т. 51. № 6. С. 964-968.

Поступило в Редакцию
8 января 1990 г.